



HAL
open science

Artefactos óseos articulados en Chavín de Huántar Estudio preliminar y definición del grupo

Mélanie Ferras

► **To cite this version:**

Mélanie Ferras. Artefactos óseos articulados en Chavín de Huántar Estudio preliminar y definición del grupo. Institute of Andean Studies, Annual Meeting (January 12-15, 2023), Jan 2023, Berkeley (California), Estados Unidos. hal-03962201

HAL Id: hal-03962201

<https://hal.science/hal-03962201>

Submitted on 30 Jan 2023

HAL is a multi-disciplinary open access archive for the deposit and dissemination of scientific research documents, whether they are published or not. The documents may come from teaching and research institutions in France or abroad, or from public or private research centers.

L'archive ouverte pluridisciplinaire **HAL**, est destinée au dépôt et à la diffusion de documents scientifiques de niveau recherche, publiés ou non, émanant des établissements d'enseignement et de recherche français ou étrangers, des laboratoires publics ou privés.

INTRODUCCIÓN

En 2016 y 2017, durante las excavaciones del Programa de Investigación Arqueológica y Conservación Chavín de Huántar (dir. John W. Rick) en el centro ceremonial de Chavín de Huántar, un grupo de artefactos óseos articulados fue descubierto, depositado en un canal subterráneo, el Canal de Explanada 7 (CE7).



Los artefactos óseos son objetos manufacturados de acabado muy fino. Todas las piezas se encontraron fragmentadas, pero varias presentan una fragmentación mínima, lo que permite definir la forma general de los artefactos enteros: una parte fina y larga tipo aguja o alfiler, que se une con una cadena compuesta de eslabones, que luego se une con un apéndice que lleva un motivo (Fig.1).

MATERIAL & METODOS

El criterio principal para la selección fue saber si los fragmentos formaban parte de los objetos enteros que eran los artefactos articulados con motivo. Entre los fragmentos seleccionados, identificamos seis categorías (Fig.2).

El corpus se compone de 405 fragmentos (Numero de Restos). La categoría de fragmentos la más representada es la de fragmentos de aguja (67% del NR), y luego viene la de fragmentos de aguja con eslabones y apéndice (20% del NR). El cálculo del Número Mínimo de Elemento permite determinar que el grupo se componía aproximadamente de unas 87 piezas enteras (Fig.3).



Repartición de las categorías de fragmentos en el corpus

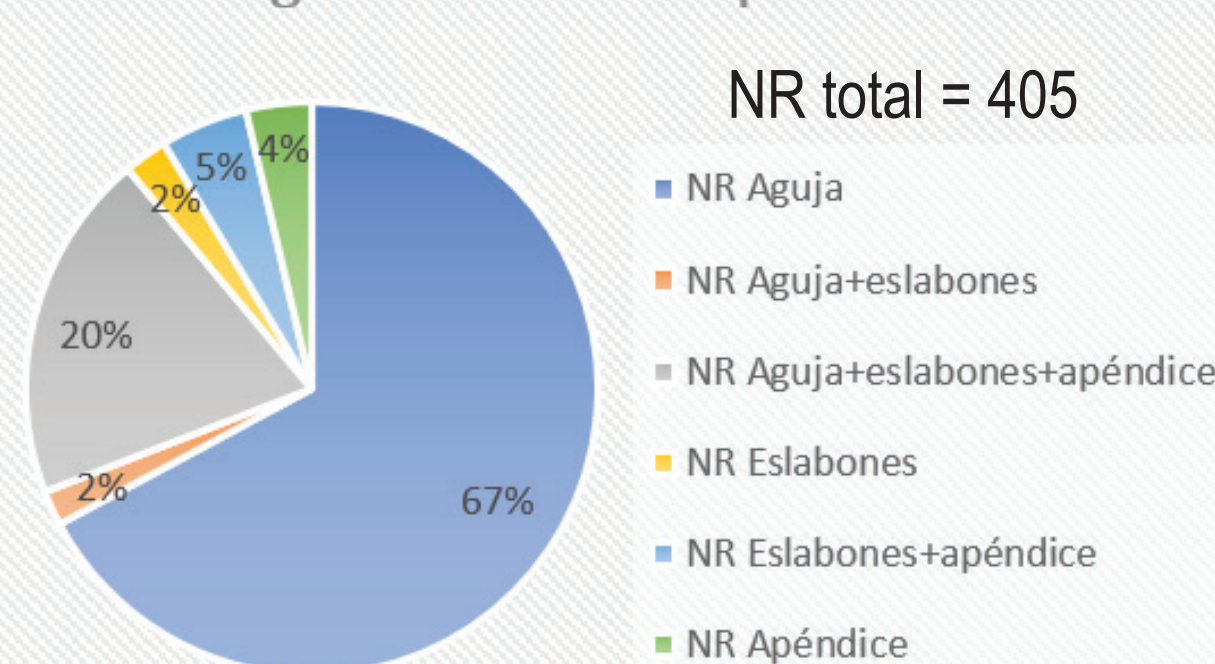


Fig.3 Repartición de las categorías de piezas para definición de NME

NME ≈ 87

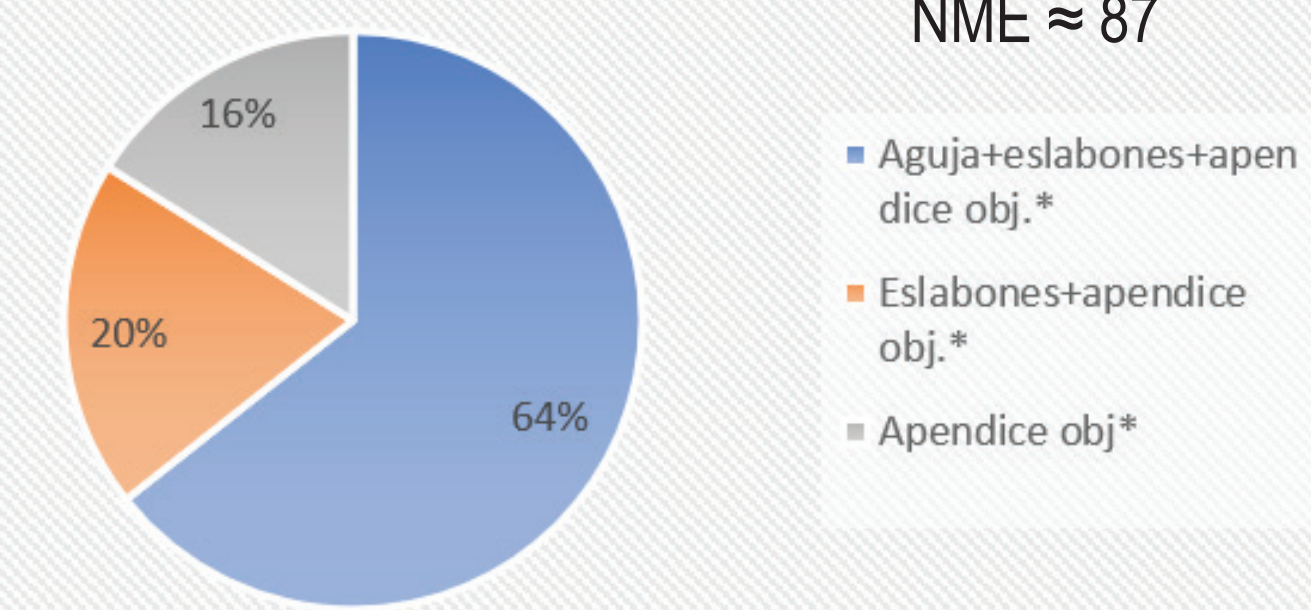


Fig.4



Fig.6

ANÁLISIS ICONOGRÁFICO

El análisis iconográfico se enfoca en los varios motivos que llevan las piezas. Quince categorías iconográficas han sido identificadas (Fig.7). En una misma categoría, todos los motivos no tienen el mismo acabado (Fig.8).

Cabeza de ave/condor, 24 piezas (A)	Garra, 5 piezas (F)
S invertido, 12 piezas (B)	Voluta rostro, 3 piezas (I)
Voluta simple, 7 piezas (C)	Pluma, 3 piezas (K)
Floral, 7 piezas (D)	Vilca, 3 piezas (J)
Cola de ave modelo 1, 5 piezas (G)	Hacha, 2 piezas (N)
Cola de ave modelo 2, 2 piezas (L)	Punta de proyectil, 2 piezas (M)
Cola de ave modelo 3, 4 piezas (H)	Pata con garras, 1 pieza (O)
Cola de ave modelo 4, 6 piezas (E)	



Fig.8

ANÁLISIS FORMAL (datos morfométricos, tratamiento superficial)

Las piezas se componían de tres secciones: una aguja que medía aprox. entre 15cm y 17cm, una cadena que se componía de uno a tres eslabones y que medía entre 1.4cm y 4.1cm, y un apéndice que llevaba un motivo y que medía entre 2.3cm y 5.2cm (Fig.4). Las tres partes son articuladas gracias a las perforaciones de la aguja y del apéndice que permiten su unión con la cadena y sus eslabones articulados (Fig.5).



Fig.5

La aguja tiene un fuste delgado de sección circular con bordes semicirculares y con una extremidad proximal puntiaguda. Los diámetros de las agujas varían entre 1.31mm y 2.95mm. La cadena presenta bordes cóncavo-convexos.

Se identifican cinco tratamientos distintos de la superficie de la aguja:

- ◆ acabado natural pulido
- ◆ acabado bicolor
- ◆ acabado bicolor oblicuo
- ◆ acabado de bitextura oblicua
- ◆ acabado bitextura

→ Intencionalidad de establecer varias categorías de artefactos distinguiéndolos por su acabado.

El análisis de las cadenas o de los fragmentos de eslabón establece la existencia de dos categorías denominadas "cadena plana" y "cadena ondulada". Las dos resultan de técnicas distintas (Fig.6).

- ◆ Las cadenas planas (Fig.6_A) están siempre compuestas por dos eslabones. Las perforaciones de los eslabones tienen la misma orientación por haber sido perforadas en la misma sección del hueso: su sección longitudinal.
- ◆ Las cadenas onduladas (Fig.6_B) pueden estar compuestas por uno, dos o tres eslabones. En un mismo eslabón, las perforaciones no tienen la misma orientación: una fue perforada en la sección longitudinal del hueso y la otra en su sección transversal, lo que da una forma ondulada a la cadena.

→ La cadena ondulada está más representada, contabilizando 81 fragmentos (84.4%), mientras que la cadena plana contabiliza 15 fragmentos (15.6%).

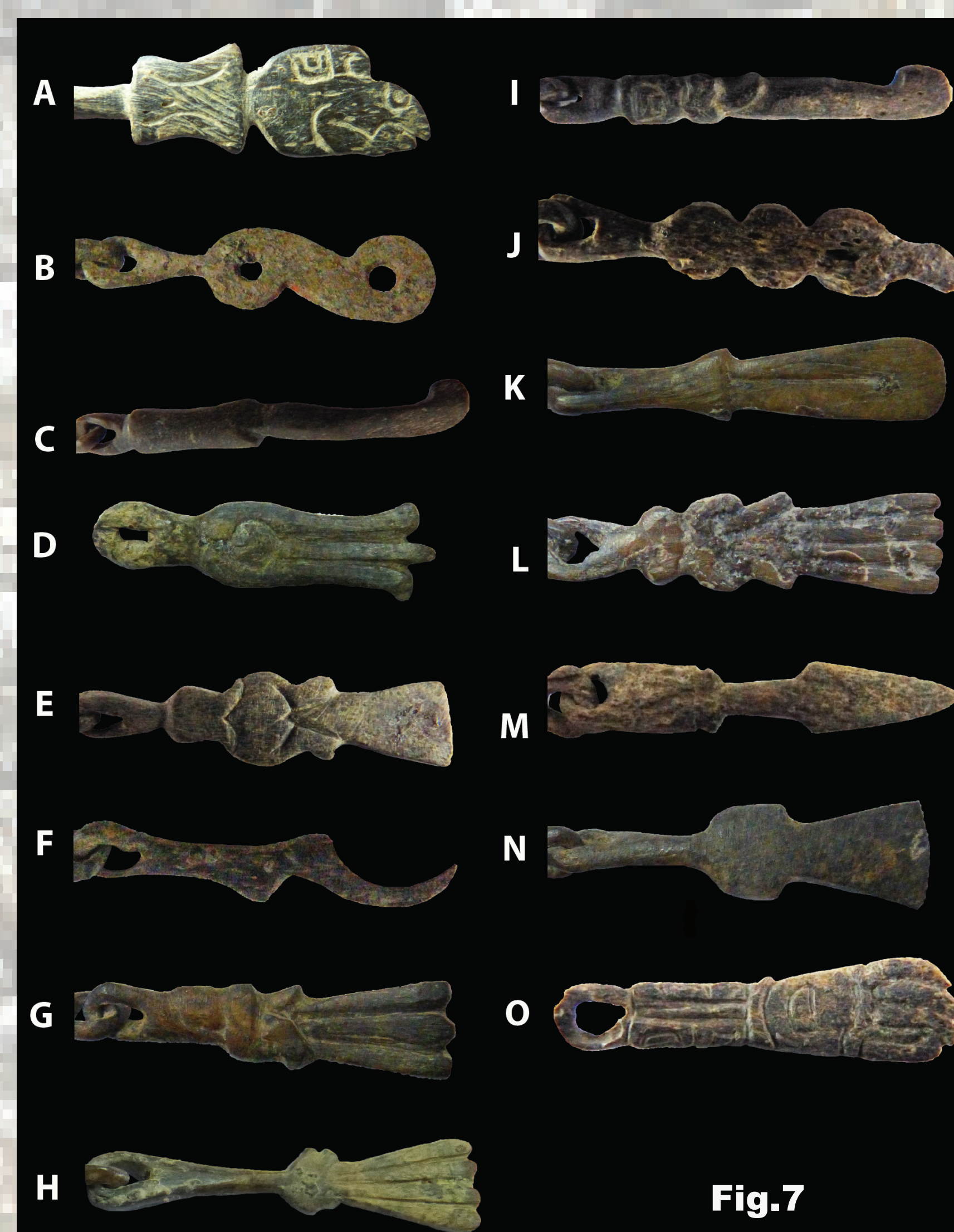


Fig.7

OBSERVACIONES PRELIMINARES & PERSPECTIVAS DE INVESTIGACIÓN

► Determinación de dos subgrupos: Los cruzamientos entre los datos morfológicos, técnicos e iconográficos permiten identificar dos subgrupos dentro del grupo principal.

- ◆ Un grupo muy restringido con un único tipo de aguja con un trabajo de bitextura, un único tipo de cadena plana siempre compuesta de dos eslabones, y un único tipo de apéndice con el motivo de S invertido (Fig.9).
- ◆ Un grupo más variado, con una aguja pulida o bicolor, unida a una cadena ondulada que puede llevar uno, dos o tres eslabones, y un apéndice con una variedad de motivos.



Fig.9

► Perspectivas de investigación: Los futuros pasos de investigación se enfocan sobre las problemáticas de tecnología ósea e incluyen un proceso de arqueología experimental para comprobar la cadena operativa de producción y así tener una mejor definición técnica de los artefactos. Además, sería necesario identificar la especie animal de la cual provienen los huesos utilizados: los análisis isotópicos y proteómicos podrían permitir esta identificación.

AGRADECIMIENTOS

La realización de este trabajo fue posible gracias al apoyo de varias personas e instituciones y les agradecemos sinceramente:

- ◀ **Dr. John W. Rick**, director del Programa de Investigación Arqueológica y Conservación Chavín de Huántar, y los miembros del PIACCH.
- ◀ **Prof. Daniel Lévine** y **Dr. François Cuny** quienes apoyaron el proyecto.
- ◀ La **Académie Française** y la **beca Jean Walter-Zelidja** que financiaron la movilidad necesaria para el estudio.
- ◀ **Dra. Alexandra Legrand-Pineau**, con quien se empieza el proceso experimental. **Dr. Nicolas Goepfert** y **Dra. Marianne Christensen**.

REFERENCIAS (selectivas)

- Camps-Fabrer, H. 1974. *Lexique des termes caractéristiques de l'industrie de l'os*, Aix en Provence, Université de Provence.
- Julien, M. 1981. "La industria ósea de Telamachay, Periodo Formativo". *Revista del Museo Nacional*, Lima, Perú (44), 69-93.
- Ramseyer, D. (dir.). 2004. *Matières et techniques. Industrie de l'os préhistorique. Cahier XI*. Paris, Editions Société Préhistorique Française.
- Rick, J.W., et al. 2016. "Cambiano la percepción sobre Chavín: las últimas campañas del Proyecto de Investigación Arqueológica y Conservación en Chavín de Huántar". *Actas del Congreso Nacional de Arqueología*, vol. II. Lima, Ministerio de Cultura, 5-19.
- Rick, J.W., Mesia Montenegro, C. 2017. *Programa de Investigación Arqueológica y Conservación Chavín de Huántar, Temporadas 2015-2016, Informe final 2016*, t.I y t.IV.
- Rick, J.W., Mesia Montenegro, C. 2018. *Programa de Investigación Arqueológica y Conservación Chavín de Huántar, Temporadas 2017-2018, Informe anual 2017*, t.I y t.II.